

Semnale și sisteme

Lucrare de laborator nr. 10

Descriptori de formă. Descriptori Fourier

Descriptori de formă. Descriptori Fourier

- ❑ caracterizează conturul unui obiect printr-un set de numere care reprezintă conținutul de frecvență al unui semnal unidimensional asociat conturului obiectului
- ❑ descriptorii Fourier pot fi calculați utilizând diverse reprezentări ale conturului
- ❑ primele componente ale seriei Fourier furnizează informații referitoare la forma generală a obiectului, în timp ce componentele de ordin superior, asociate cu frecvențe mai mari, descriu detalii ale conturului

Descriptori de formă. Descriptori Fourier

- asocierea unui obiect grafic cu un set de numere care cuantizează forma va permite introducerea unor măsuri ale similitudinii între obiecte, cu aplicații importante în **clasificarea** și **recunoașterea** formelor
- un astfel de set este folositor îndeosebi dacă valorile numerice se conservă la transformări de translație, rotație și scalare a formei; în acest caz va poseda un atribut important, numit **invarianță**
- atunci când setul de numere conține suficiente informații despre contur, se poate folosi pentru **reconstrucția** conturului

FUNCȚIA DE CURBURĂ DESCRISĂ PRIN SERIA FOURIER

Exprimând conturul unui obiect ca o funcție complexă $c(p) = x(p) + iy(p)$, unde $(x(p), y(p))$ sunt coordonatele pixelilor de pe contur, unghiul determinat de tangenta la contur în punctul p_j poate fi exprimat sub forma:

$$\varphi(s) = \arctan\left(\frac{y(p_j) - y(p_{j-1})}{x(p_j) - x(p_{j-1})}\right), 0 \leq s \leq L$$

unde L reprezintă lungimea curbei.

Funcția de curbură măsoară direcția unghiulară a curbei în funcție de lungimea curbei și este descrisă de diferența dintre valori successive ale unghiurilor:

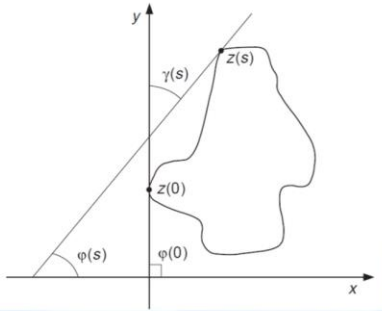
$$\kappa(s) = \varphi(s) - \varphi(s-1)$$

Dezavantaje ale funcției de curbură: sensibilitatea la zgomot (pentru a diminua efectul zgomotului conturul poate fi filtrat) și discontinuitățile.

Pentru a se evita discontinuitățile se poate utiliza *funcția unghiulară cumulativă*:

$$\gamma(s) = \int_0^s \kappa(r) dr - \kappa(0)$$

unde $\kappa(r)$ este curbura în punctul r , $\kappa(0)$ este curbura în punctul de start.



Relația dintre funcția unghiulară $\varphi(s)$ și funcția unghiulară cumulativă $\gamma(s)$.

Valorile inițiale, respectiv finale ale funcției $\gamma(s)$ atunci când conturul este parcurs în sensul acelor de ceas, sunt $\gamma(0)=0$, $\gamma(L)=-2\pi$.

Funcția unghiulară cumulativă normalizată normalizează domeniul de definiție $[0, L]$ al funcției $\gamma(s)$ la intervalul $[0, 2\pi]$ prin parametrizarea $t = 2\pi s/L$:

$$\gamma^*(t) = \gamma\left(\frac{L}{2\pi} t\right) + t$$

unde $\gamma^*(0) = \gamma^*(2\pi) = 0$.

Funcția γ^* este invariantă la translații, rotații și modificări ale lungimii curbei.

Reprezentarea în serie Fourier a lui $\gamma^*(t)$ (funcție periodică cu perioada 2π , $\omega_0 = 1$):

$$x(t) = c_0 + \sum_{k=1}^{+\infty} [a_k \cos(kt) + b_k \sin(kt)]$$

unde $c_0 = \frac{1}{2\pi} \int_0^{2\pi} \gamma^*(t) dt$,

$$a_k = \frac{1}{\pi} \int_0^{2\pi} \gamma^*(t) \cos(kt) dt, \quad b_k = \frac{1}{\pi} \int_0^{2\pi} \gamma^*(t) \sin(kt) dt$$

Coefficienții seriei Fourier pot fi rescriși în funcție de $\gamma(t)$:

$$c_0 = \frac{1}{2\pi} \int_0^{2\pi} \gamma\left(\frac{Lt}{2\pi}\right) dt + \frac{1}{2\pi} \int_0^{2\pi} t dt = \frac{1}{2\pi} \int_0^{2\pi} \gamma\left(\frac{Lt}{2\pi}\right) dt + \pi,$$

$$a_k = \frac{1}{\pi} \int_0^{2\pi} \gamma\left(\frac{Lt}{2\pi}\right) \cos(kt) dt + \frac{1}{\pi} \int_0^{2\pi} t \cos(kt) dt = \frac{1}{\pi} \int_0^{2\pi} \gamma\left(\frac{Lt}{2\pi}\right) \cos(kt) dt,$$

$$b_k = \frac{1}{\pi} \int_0^{2\pi} \gamma\left(\frac{Lt}{2\pi}\right) \sin(kt) dt + \frac{1}{\pi} \int_0^{2\pi} t \sin(kt) dt = -\frac{2}{k} + \frac{1}{\pi} \int_0^{2\pi} \gamma\left(\frac{Lt}{2\pi}\right) \sin(kt) dt$$

Exprimând coeficienții seriei Fourier în termeni de distanțe: $s = \frac{Lt}{2\pi}$, $0 \leq s \leq L$, $dt = \frac{2\pi}{L} ds$,

$$c_0 = \pi + \frac{1}{L} \int_0^L \gamma(s) ds,$$

$$a_k = \frac{2}{L} \int_0^L \gamma(s) \cos\left(\frac{2\pi k}{L} s\right) ds, \quad b_k = -\frac{2}{k} + \frac{2}{L} \int_0^L \gamma(s) \sin\left(\frac{2\pi k}{L} s\right) ds$$

Aproximând integrala $\int_0^L \gamma(s) ds$ prin suma ariilor dreptunghiurilor de lungime τ_i și înălțime γ_i :

$$c_0 = \pi + \frac{1}{L} \sum_{i=1}^m \gamma_i \tau_i,$$

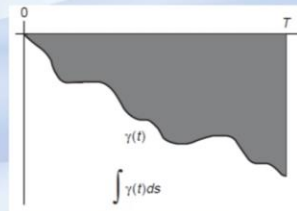
$$a_k = \frac{2}{L} \sum_{i=1}^m \gamma_i \tau_i \cos\left(\frac{2\pi k}{L} s_i\right),$$

$$b_k = -\frac{2}{k} + \frac{2}{L} \sum_{i=1}^m \gamma_i \tau_i \sin\left(\frac{2\pi k}{L} s_i\right)$$

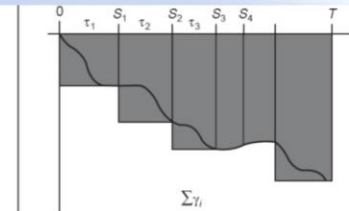
s_i - lungimea curbei din punctul de

start în punctul i ($s_i = \sum_{r=1}^i \tau_r$),

τ_r - distanța dintre punctul $r-1$ și punctul r



Curba continua



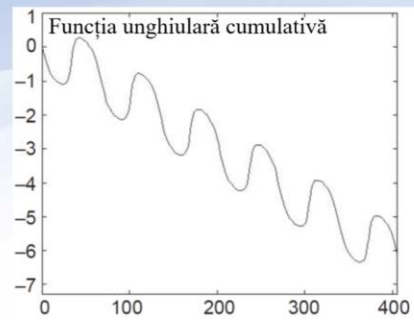
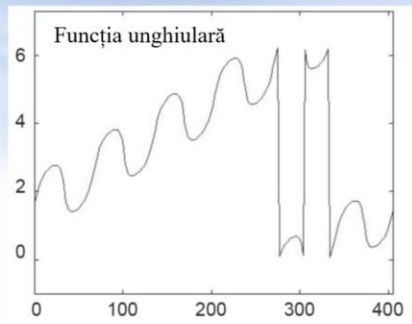
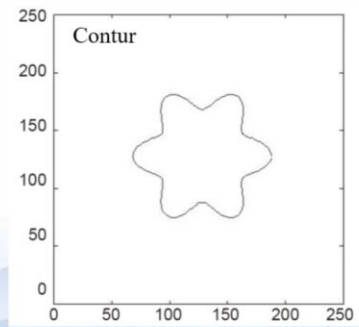
Suma Riemman


```

function angularFunctionDescriptors(curve, nc)
X=curve(1,:); Y=curve(2,:); m=length(X);
figure, subplot(2,3,1);plot(X,Y), title('Contur');
% calcul distante Si
S=zeros(1,m); S(1) = sqrt( (X(1)-X(m))^2 + (Y(1)-Y(m))^2 );
for i=2:m, S(i) = S(i-1)+sqrt( (X(i)-X(i-1))^2 + (Y(i)-Y(i-1))^2 ); end
L=S(m); % L - lungime perimetru
% calculul functiei de curbura
wnd = 10; A = zeros(1,m);
for i=1:m
    % medierea coordonatelor pixelilor de pe contur pe o fereastră de dimensiune wnd pentru atenuarea zgomotului
    x1=0; x2=0; y1=0; y2=0;
    for j=1:wnd
        pa=i-j; pb=i+j; if(pa<1), pa=m+pa; end, if(pb>m), pb=pb-m; end
        x1=x1+X(pa); y1=y1+Y(pa); x2=x2+X(pb); y2=y2+Y(pb);
    end
    x1=x1/wnd; y1=y1/wnd; x2=x2/wnd; y2=y2/wnd;
    % calculul valorii functiei de curbura in punctul i de pe contur
    dx=x2-x1; dy=y2-y1;
    if(dx==0) dx=.00001; end
    if ((dx>0) && (dy>0)), A(i)=atan(dy/dx);
    elseif ((dx>0) && (dy<0)), A(i)=atan(dy/dx)+2*pi;
    else A(i)=atan(dy/dx)+pi; end
end
subplot(2,3,2);plot(S,A); axis([0,S(m),-1,2*pi+1]); title('\phi(s)')

% calcul functie unghiulara cumulativa
G = zeros(1,m);
for i = 2:m
    dA = A(i)-A(i-1); d = min(abs(dA),abs(abs(dA)-2*pi));
    if (d > 0.5), G(i) = G(i-1);
    elseif (dA < -pi), G(i) = G(i-1) - (dA + 2*pi);
    elseif (dA > pi), G(i) = G(i-1) - (dA - 2*pi);
    else, G(i) = G(i-1) - dA; end
end
subplot(2,3,3); plot(S,G); axis([0,S(m),-2*pi-1,1]); title('Functie unghiulara cumulativa \gamma(s)')
t=(2*pi*S)/L; F = G + t;
subplot(2,3,4);
plot(t,F); axis([0,2*pi,-2*pi,2*pi]); title('Functie unghiulara cumulativa normalizata \gamma^(t)')
% calcul descriptori Fourier
a = zeros(1,nc); b = zeros(1,nc);
for k = 1:nc
    a(k) = a(k) + G(1)*(S(1))*cos(2*pi*k*S(1)/L);
    b(k) = b(k) + G(1)*(S(1))*sin(2*pi*k*S(1)/L);
    for i = 2:m
        a(k) = a(k) + G(i)*(S(i)-S(i-1))*cos(2*pi*k*S(i)/L);
        b(k) = b(k) + G(i)*(S(i)-S(i-1))*sin(2*pi*k*S(i)/L);
    end
    a(k) = a(k)*(2/L); b(k) = b(k)*(2/L)-2/k;
end
subplot(2,3,5); bar(a); title('Descriptori Fourier a_k'), subplot(2,3,6); bar(b); title('Descriptori Fourier b_k')

```



DESCRIPTORI FOURIER ELIPTICI

Exprimând conturul ca o funcție complexă $c(t) = x(t) + iy(t)$, reprezentarea în serie Fourier a acestuia poate fi scrisă sub forma

$$c(t) = \frac{a_{x0}}{2} + \sum_{k=1}^{\infty} (a_{xk} \cos(k\omega t) + b_{xk} \sin(k\omega t)) + j \left(\frac{a_{y0}}{2} + \sum_{k=1}^{\infty} (a_{yk} \cos(k\omega t) + b_{yk} \sin(k\omega t)) \right)$$

sau în formă matriceală:

$$\begin{bmatrix} x(t) \\ y(t) \end{bmatrix} = \frac{1}{2} \begin{bmatrix} a_{x0} \\ a_{y0} \end{bmatrix} + \sum_{k=1}^{\infty} \begin{bmatrix} a_{xk} & b_{xk} \\ a_{yk} & b_{yk} \end{bmatrix} \begin{bmatrix} \cos(k\omega t) \\ \sin(k\omega t) \end{bmatrix}$$

Componenta de ordinul zero a seriei Fourier, $\frac{1}{2}(a_{x0}, a_{y0})$, reprezintă centrul de masă al formei.

Punctele de eșantionare sunt definite în $t = i\tau$, unde i este un întreg $1 \leq i \leq m$ (m – numărul de puncte egal distanțate de pe contur). x_i și y_i definesc valoarea funcțiilor în punctul de eșantionare i : $x_i = x(i\tau)$, $y_i = y(i\tau)$. Coeficienții seriei Fourier sunt:

$$a_{xk} = \frac{2}{m} \sum_{i=1}^m x_i \cos(k\omega i\tau), \quad b_{xk} = \frac{2}{m} \sum_{i=1}^m x_i \sin(k\omega i\tau)$$

$$a_{yk} = \frac{2}{m} \sum_{i=1}^m y_i \cos(k\omega i\tau), \quad b_{yk} = \frac{2}{m} \sum_{i=1}^m y_i \sin(k\omega i\tau)$$

```
function ellipticFourierDescriptors(c, nc)
X = c(1,:); Y = c(2,:);
m = length(X);
T=m; w = 2*pi/T; tau = T/m;

% calculul coeficientilor seriei Fourier
ax=[]; bx=[];
for k=1:nc
    ax(k) = 0; bx(k) = 0;
    for i=1:m
        ax(k) = ax(k) + X(i)*cos(k*w*i*tau);
        bx(k) = bx(k) + X(i)*sin(k*w*i*tau);
    end
end
ax = (2/m)*ax; bx = (2/m)*bx; ax0 = 2/m*sum(X); bx0 = 0;

ay=[]; by=[];
for k=1:nc
    ay(k) = 0; by(k) = 0;
    for i=1:m
        ay(k) = ay(k) + Y(i)*cos(k*w*i*tau);
        by(k) = by(k) + Y(i)*sin(k*w*i*tau);
    end
end
ay = (2/m)*ay; by = (2/m)*by; ay0 = 2/m*sum(Y); by0 = 0;
```

```

% reconstructia conturului pe baza coeficientilor Fourier
for n = 1:m
    X2(n) = ax0/2;
    Y2(n) = ay0/2;
    for k = 1:nc
        X2(n) = X2(n) + ax(k)*cos(k*w*n)+bx(k)*sin(k*w*n);
        Y2(n) = Y2(n) + ay(k)*cos(k*w*n)+by(k)*sin(k*w*n);
    end
end
c2 = [X2; Y2];
figure, subplot(3,2,1), plot(c2(1,:),c2(2,:)); title('Conturul obiectului')
subplot(3,2,2), plot(c2(1,:),c2(2,:)); hold on; plot(ax0/2,ay0/2,'*'); title('Contur reconstruit')
subplot(3,2,3), bar(ax), title('a_x'), subplot(3,2,4), bar(bx), title('b_x')
subplot(3,2,5), bar(ay), title('a_y'), subplot(3,2,6), bar(by), title('b_y')

```

Extragerea conturului obiectelor dintr-o imagine în Matlab

```

im = imread('circles.png'); % incarcare imagine in Matlab
imshow(im) % afisare imagine

% binarizare imagine (in urma acestei operatii pixelii apartinand obiectelor trebuie sa fie albi, iar pixelii
apartinand fundalului negri)
if (~islogical(im))
    if (ndims(im)>2), im = rgb2gray(im); end
    level=graythresh(im); BW = im2bw(im,level);
else
    BW = im;
end
figure, imshow(BW)
% daca in urma binarizarii fundalul este alb si obiectele negre, se va complementa imaginea
% BW = ~BW;
% figure, imshow(BW)

```


Extragerea conturului obiectelor dintr-o imagine in Matlab

```
% segmentare imagine si extragere contur obiecte
[B,L,N] = bwboundaries(BW,'noholes');
% N - numarul de obiecte gasite in imagine;
% B - structura continand conturul fiecarui obiect;
% L - matrice 2D in care sunt etichetate regiunile gasite

% afisarea conturului fiecarui obiect din imagine
for (k=1:N)
    X = B{k}(:,2);
    Y = B{k}(:,1);
    contur = [X'; Y'];
    figure, plot(X, Y)
end
```

Exerciții

1. a. Utilizati un program, precum utilitarul Paint, pentru a crea o imagine cu fundal negru conținând 3 obiecte gri pline (un cerc, un dreptunghi și un romb) și salvați imaginea.
- b. Încărcați și pregătiți imaginea pentru aplicarea descriptorilor de formă (binarizare și segmentare).
- c. Calculați și afișați descriptorii Fourier pentru cele trei obiecte din imagine.
- d. Schimbați numărul de coeficienți ai seriei Fourier. Ce observați?

Exerciții

2. a. Creați o imagine cu un dreptunghi plin și salvați imaginea.
- b. Incarcați și pregătiți imaginea în Matlab pentru aplicarea descriptorilor de formă.
- c. Aflați coordonatele centrului de masă al dreptunghiului utilizând funcția *regionprops* (funcție care calculează proprietăți precum aria, dreptunghiul de încadrare, perimetrul, centrul de masă pentru fiecare regiune etichetată din matricea *L* returnată de funcția *bwboundaries*)

```
stats = regionprops(L,'Centroid');  
coordinates = stats(1).Centroid;  
xc = coordinates(1);  
yc = coordinates(2);
```
- d. Pentru fiecare punct de pe conturul dreptunghiului calculați distanța dintre acest punct și centrul de masă: $r(j) = \sqrt{(x(p_j) - x_c)^2 + (y(p_j) - y_c)^2}$. Reprezentați grafic vectorul *r*.
- e. Ce observați referitor la periodicitatea funcției *r*?
- f. Arătați cum poate fi folosit semnalul *r* pentru a verifica similitudinea a două forme.

Exerciții

3. Să se reconstruiască conturul obiectului (se vor considera 327 de puncte pe contur) descris de coeficienții Fourier eliptici:

$ax(1) = -44.2, ax(2) = 0.6, ax(3) = 0.7, ax(4) = -0.4, ax(5) = -4.8, ax(6) = -0.01, ax(7) = -3.7,$
 $bx(1) = 1.2, bx(2) = 0.1, bx(3) = -0.03, bx(4) = -0.2, bx(5) = 0.5, bx(6) = 0.1, bx(7) = 0.9,$
 $ay(1) = -1.2, ay(2) = -0.1, ay(3) = 0.1, ay(4) = 0.2, ay(5) = 0.6, ay(6) = -0.3, ay(7) = -0.6,$
 $by(1) = -43.8, by(2) = 0.8, by(3) = 0.1, by(4) = 0.4, by(5) = 3.7, by(6) = -0.6, by(7) = -3.6,$
 $ax0 = 141.6, ay0 = 121.3$

Să se afișeze conturul obținut și centrul de masă.